

一种中心型有限体积孔隙 – 裂隙渗流求解方法及其 OpenMP 并行化

王理想, 李世海, 马照松, 冯 春

(中国科学院 力学研究所, 北京 100190)

摘要: 为高效求解单相孔隙 – 裂隙渗流问题, 发展一种基于任意网格的三维中心型有限体积渗流求解算法, 并对其进行了 OpenMP 并行化。该算法将压力置于单元中心处; 使用串联弹簧模型在空间域离散; 使用显式差分格式在时间域离散; 使用动态松弛求解技术, 逐个单元求解。算例研究表明, 该算法与有限元相比具有类似的精度, 但求解效率更高。OpenMP 并行化使得该算法运算速度在 CPU i7 – 3770 上可提高至 4.0 倍, 在 CPU i7 – 4770 上可提高至 4.2 倍; 两台机器上的并行效率均高达 50% 以上。

关键词: 计算数学; 三维中心型有限体积法; 单相孔隙 – 裂隙耦合渗流; 动态松弛技术; OpenMP 并行; 离散裂隙网络

中图分类号: O 24

文献标识码: A

文章编号: 1000 – 6915(2015)05 – 0865 – 11

A CELL-CENTERED FINITE VOLUME METHOD FOR FLUID FLOW IN FRACTURED POROUS MEDIA AND ITS PARALLELIZATION WITH OPENMP

WANG Lixiang, LI Shihai, MA Zhaosong, FENG Chun

(*Institute of Mechanics, Chinese Academy of Sciences, Beijing 100190, China*)

Abstract: An efficient three-dimensional cell-centered finite volume method(ccFVM) on arbitrary grids was developed for single-phase fluid flow in fractured porous media. The method was parallelized with OpenMP. With that the pressure node was set at the center of the cell, the model of spring-in-series was employed for spatial discretization and the explicit difference scheme for temporal discretization. The dynamic relaxation technique was used for the element-by-element iteration. The numerical tests indicated that the ccFVM was as accurate as FEM, but more efficient. The parallel procedure obtained a speedup of 4.0 on the CPU i7 – 3770 and a speedup of 4.2 on the CPU i7 – 4770. High parallel efficiency of over 50% was achieved on both machines.

Key words: computational mathematics; three-dimensional cell-centered finite volume method; single-phase fluid flow in fractured porous media; dynamic relaxation technique; OpenMP-based parallelization; discrete fracture network

1 引 言

孔隙 – 裂隙耦合渗流现象广泛存在于节理化孔

隙介质中。耦合渗流规律的研究对于石油天然气开采^[1-2]、滑坡防治^[3]、核废料处理^[4]、地下水污染防治^[5]、水电工程^[6]、地热工程^[7]等, 都具有重要的实际意义。

收稿日期: 2014 – 07 – 21; 修回日期: 2014 – 10 – 21

基金项目: 国家重点基础研究发展规划(973)项目(2010CB731506); 中国科学院战略性先导科技专项(XDB10030303); 国家自然科学基金青年基金项目(11002146)

作者简介: 王理想(1987 –), 男, 2010年毕业于北京科技大学土木工程专业, 现为博士研究生, 主要从事渗流数值模拟与并行算法方面的研究工作。

E-mail: omega168@163.com. 通讯作者: 李世海(1958 –), 男, 现任研究员、博士生导师。E-mail: shli@imech.ac.cn

DOI: 10.13722/j.cnki.jrme.2014.1049

目前国内外对于孔隙-裂隙耦合渗流模型的研究,已经取得一定进展。在物理模型研究方面,G. I. Barenblatt 等^[8]于 1960 年率先提出均质、各向同性的双重孔隙介质模型。该模型假定节理化孔隙介质是一种包含 2 种物性的连续介质,其几何区域是交叠的^[9]。2 种介质之间的物质交换,以窜流项表示。1982 年,J. C. S. Long 等^[10]将强节理化孔隙介质等效为一种连续介质来处理,提出等效连续介质模型。该模型中介质的渗透率和孔隙度通过平均化获得,这种简化使得等效连续介质模型中不包含裂隙,因此计算精度较低。1992 年,B. Dverstorp 等^[11]通过提取介质中的主导裂隙,建立了离散裂隙网络模型。由于该模型的简化条件较少,因此该模型最为精确,但使用该模型将导致计算量巨大。

国内学者在离散裂隙网络渗流模型方面做了很多工作。于青春等^[12]建立了岩体非连续裂隙网络三维面状渗流模型。李新强等^[13]使用蒙特卡洛方法,随机生成了三维结构面网络模型,并进行了可视化处理。张丽等^[14]使用块体切割技术,建立了固体切割型随机裂隙网络模型。张奇华和邬爱清^[15]发展了三维任意裂隙网络的渗流模型。

在数值模型研究方面,国内外学者在有限单元法^[16-17]、有限差分法^[18]、节点型有限体积法^[19]、边界单元法^[20]、混合方法^[21]等方面做了很多卓有成效的工作。这些方法计算精度高,但计算量往往较大。中心型有限体积法创造性地把压力节点置于单元中心处,单元自身即为控制体(见图 1(a)),相比于控制体复杂的节点型有限体积法(见图 1(b)),可减少计算量,从而提高计算效率。

国外学者在中心型有限体积法渗流算法研究方面取得较大进展。Y. Caillabet 等^[22]提出二维单相孔隙-裂隙渗流求解模型,并用于求解大尺度渗流问题^[23]。S. Granet 等^[24]发展了二维双相孔隙-裂隙渗流求解模型,用于裂缝性油藏的渗流模拟。M. Karimi-Fard 等^[25]提出三维双相孔隙-裂隙渗流求解模型。本文在此基础上,发展了三维单相孔隙-裂隙渗流求解模型。

中心型有限体积法不仅效率高,而且在处理特殊问题时更加贴近物理实际。如图 2 所示,当流体从裂隙 AB, AC 向孔隙基质 ΔABC 流动时,使用节点型有限体积法,得到的结果是: ΔABC 的 3 个节点 A, B, C 的压力值与裂隙 AB, AC 的节点压力值

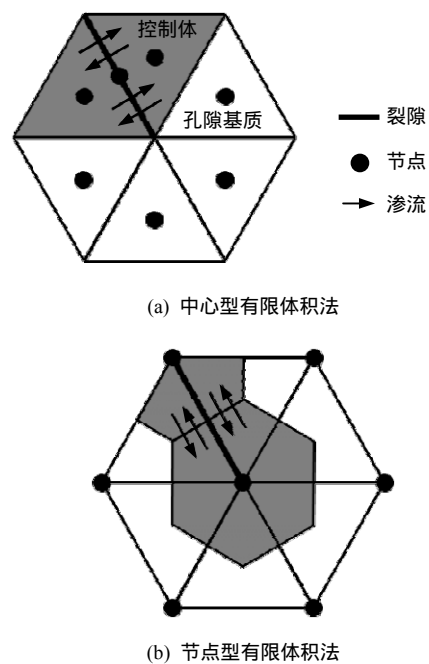


图 1 2 种有限体积法控制体对比
Fig.1 Control volumes of the two FVMs

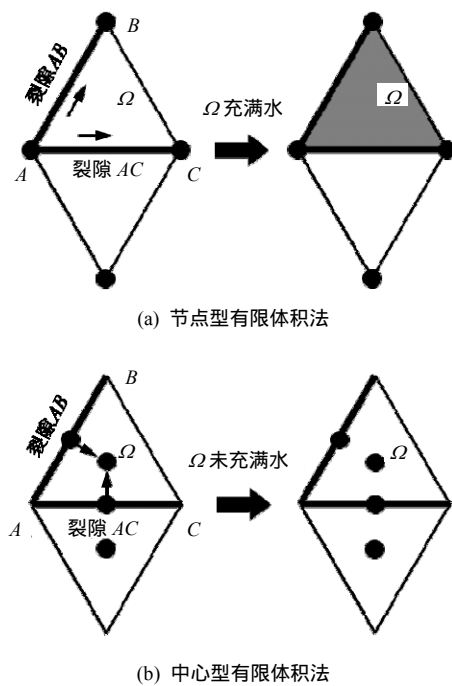


图 2 2 种有限体积法流体流动机制
Fig.2 Fluid flow mechanism of the two FVMs

相等,基质 ΔABC 立刻充满水。但实际过程并非如此,裂隙 AB 与 AC 有一个向基质 ΔABC 渗透的过程,使用中心型有限体积法则可以捕捉到这一过程。

近 10 年来,随着计算机技术的发展,并行技术取得很大进展,各种并行算法得以实施。如刘耀儒等^[26-27]使用 element-by-element 的并行策略,分别研究了基于双重孔隙介质模型的渗流-应力耦合问题和基于

统计模型的裂隙岩体渗流场问题。各种数值方法基本实现并行化，如有限元法^[28]、离散元法^[29]、有限差分法^[30]、混合方法^[31]、边界元法^[32]等，但尚未有学者对中心型有限体积法进行并行化。鉴于此，本文使用 OpenMP 对三维中心型有限体积渗流算法进行并行处理，进一步提高计算效率。

2 中心型有限体积渗流算法

以下通过对耦合渗流的控制方程进行空间域和时间域离散，得到中心型有限体积耦合渗流算法。

2.1 控制方程

孔隙基质和裂隙中的渗流，都遵循达西定律，分别可表示为

$$\left. \begin{aligned} \mathbf{u}_m &= -\frac{K_m}{\mu} \nabla p_m \\ \mathbf{u}_f &= -\frac{K_f}{\mu} \nabla p_f \end{aligned} \right\} \quad (1)$$

式中： \mathbf{u}_m ， \mathbf{u}_f 分别为孔隙渗流和裂隙渗流的流速； K_m ， K_f 分别为孔隙基质和裂隙的渗透率； μ 为流体的动力黏度； p_m ， p_f 分别为孔隙基质和裂隙中的流体压力。

对于孔隙渗流和裂隙渗流，它们都遵循流量守恒方程。对于孔隙渗流，这个方程可表示为

$$-\nabla \cdot \mathbf{u}_m + q_m = \phi_m c \frac{\partial p_m}{\partial t} \quad (2)$$

式中： t 为时间， q_m 为孔隙渗流的源汇项， ϕ_m 为孔隙基质的孔隙度， c 为流体压缩系数。

对于裂隙渗流，裂隙中只有流体，因此孔隙度 $\phi_f = 1$ ，裂隙渗流的流量守恒方程可表示为

$$-\nabla \cdot \mathbf{u}_f + q_f = \phi_f c \frac{\partial p_f}{\partial t} \quad (3)$$

式中： q_f 为裂隙渗流的源汇项。

对于裂隙渗流，还需要确定裂隙的渗透率。D. T. Snow^[33]在 1966 年通过试验给出流量与水力梯度之间的立方定律。通过 NS 方程推导^[34]，可给出裂隙的渗透率：

$$K_f = \frac{b^2}{12} \quad (4)$$

式中： b 为裂隙的开启度。

2.2 串联弹簧算法

为了得到有限体积渗流计算公式，考虑任意 2

个相邻的有限体积单元 Ω_i 和 Ω_j ，如图 3 所示。 Ω_i 和 Ω_j 具有公共边(面) $\partial\Omega_{ij} = \Omega_i \cap \Omega_j$ 。 C_i, C_j 分别为 Ω_i 和 Ω_j 的中心， C_o 为 $\partial\Omega_{ij}$ 的中点。向量 $\mathbf{d}_i, \mathbf{d}_j$ 分别为 $C_o C_i, C_o C_j$ 的单位方向向量。向量 $\mathbf{n}_i, \mathbf{n}_j$ 分别为公共边 $\partial\Omega_{ij}$ 指向 Ω_i, Ω_j 单元的单位法向量。图 3(a) 和(b)分别表示非结构化网格和结构化网格，下述推导过程表明该算法对任意网格均成立。

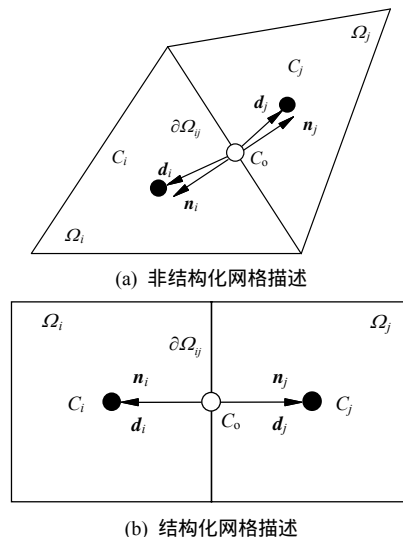


图 3 相邻 2 个单元几何描述

Fig.3 Geometrical representation of two adjacent cells

根据图 3 所示的几何描述，推导通过边界 $\partial\Omega_{ij}$ 的流量 Q_{ij} 与单元 Ω_i, Ω_j 的流体压力 p_i, p_j 之间的关系。沿 $C_i C_o, C_o C_j$ 方向的流速，根据式(1)可得

$$\mathbf{u}_{io} = -\frac{K_i}{\mu_i} \nabla p_{io} = -\frac{K_i}{\mu_i} \frac{p_o - p_i}{D_i} (-\mathbf{d}_i) \quad (5)$$

$$\mathbf{u}_{oj} = -\frac{K_j}{\mu_j} \nabla p_{oj} = -\frac{K_j}{\mu_j} \frac{p_j - p_o}{D_j} \mathbf{d}_j \quad (6)$$

式中： p_o 为 C_o 处的压力； D_i, D_j 分别为线段 $C_i C_o, C_o C_j$ 的长度。

通过边界 $\partial\Omega_{ij}$ 的流量，可通过积分得到

$$Q_{ij} = Q_{io} = \int_{\partial\Omega_{ij}} \mathbf{u}_{io} \cdot (-\mathbf{n}_i) dS = \frac{AK_i}{\mu_i} \frac{\mathbf{d}_i \cdot \mathbf{n}_i}{D_i} (p_i - p_o) \quad (7)$$

$$Q_{ij} = Q_{oj} = \int_{\partial\Omega_{ij}} \mathbf{u}_{oj} \cdot \mathbf{n}_j dS = \frac{AK_j}{\mu_j} \frac{\mathbf{d}_j \cdot \mathbf{n}_j}{D_j} (p_o - p_j) \quad (8)$$

令

$$\left. \begin{aligned} \alpha_i &= \frac{AK_i}{\mu_i} \frac{\mathbf{d}_i \cdot \mathbf{n}_i}{D_i} \\ \alpha_j &= \frac{AK_j}{\mu_j} \frac{\mathbf{d}_j \cdot \mathbf{n}_j}{D_j} \end{aligned} \right\} \quad (9)$$

式(7)和(8)可化为

$$\left. \begin{aligned} Q_{ij} &= Q_{io} = \alpha_i(p_i - p_o) \\ Q_{ij} &= Q_{oj} = \alpha_j(p_o - p_j) \end{aligned} \right\} \quad (10)$$

类比串联弹簧模型(见图4), 可得

$$Q_{ij} = T_{ij}(p_i - p_j) \quad (11)$$

式中: T_{ij} 为单元 i, j 之间的等效传递系数, 类似于串联弹簧的等效劲度系数:

$$T_{ij} = \frac{\alpha_i \alpha_j}{\alpha_i + \alpha_j} \quad (12)$$

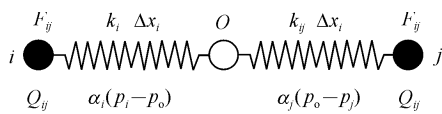


图4 串联弹簧模型类比图

Fig.4 Analog chart of spring-in-series model

2.3 稳态/非稳态渗流算法

对于稳态渗流, 有

$$\int_{\Omega_i} (-\nabla \cdot \mathbf{u} + q) dV = 0 \quad (13)$$

根据高斯散度定理, 并结合式(11), 考虑 i 单元周围所有相邻单元 j (见图5), 通过求和得

$$\int_{\Omega_i} \nabla \cdot \mathbf{u} dV = \int_{\partial \Omega_i} \mathbf{u} \cdot \mathbf{n} dS = \sum_j T_{ij}(p_i - p_j) \quad (14)$$

记 $Q_i = \int_{\Omega_i} q dV$, 则可得稳态渗流公式:

$$Q_i = \sum_j T_{ij}(p_i - p_j) \quad (15)$$

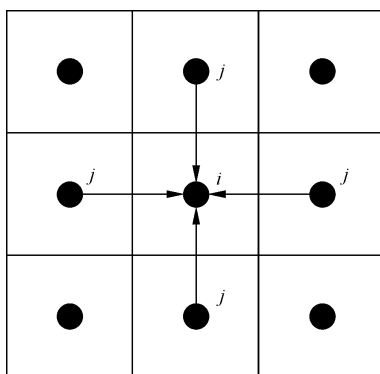


图5 i 单元相邻的所有 j 单元

Fig.5 All cells j adjacent to cell i

对于非稳态渗流, 对式(2)或(3)在时间域进行显式差分离散, 并把式(15)代入其中, 可得

$$\int_{\Omega_i} \phi c \frac{p_i^{n+1} - p_i^n}{\Delta t} dV = Q_i^n - \sum_j T_{ij}(p_i^n - p_j^n) \quad (16)$$

整理式(16), 得到压力随时间的更新公式:

$$p_i^{n+1} = p_i^n + \frac{\Delta t}{\phi_i c_i V_i} [Q_i^n - \sum_j T_{ij}(p_i^n - p_j^n)] \quad (17)$$

式中: p_i^n 为第 n 时步第 i 单元的压力, Q_i^n 为第 n 时步第 i 单元的源汇项流量, V_i 为第 i 单元体积。

式(17)既适用于孔隙渗流, 又适用于裂隙渗流。需要指出的是, 裂隙渗流可以看作是比孔隙渗流低一维度的渗流。

2.4 孔隙-裂隙耦合渗流算法

如图6所示, 现针对孔隙单元 mi 和裂隙单元 fi 给出耦合渗流计算公式。图6中, 孔隙单元 mi 周围既有其他孔隙单元 mk (图6中 $k=1, 2, 3$), 也有裂隙单元 fi ; 裂隙单元 fi 周围既有孔隙单元 mi 和 mj , 又有裂隙单元 fj (图6中 $j=1, 2$)。

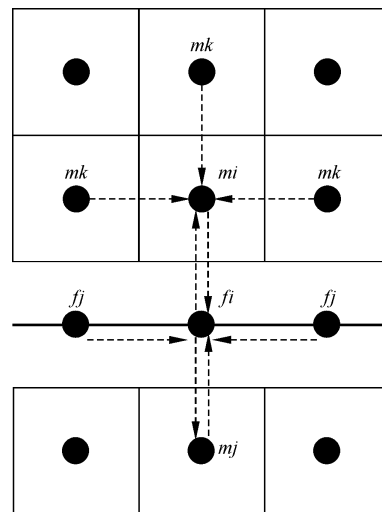


图6 孔隙-裂隙耦合渗流

Fig.6 Fluid flow in matrix-fracture

应用式(17), 对单元 mi 同时进行空间域和时间域离散, 可得

$$p_{mi}^{n+1} = p_{mi}^n + \frac{\Delta t}{\phi_{mi} c_{mi} V_{mi}} [Q_{mi}^n - \sum_{j=mk, fi} T_{mi, j}(p_{mi}^n - p_j^n)] \quad (18)$$

$$p_{fi}^{n+1} = p_{fi}^n + \frac{\Delta t}{\phi_{fi} c_{fi} V_{fi}} [Q_{fi}^n - \sum_{j=fj, mi, mj} T_{fi, j}(p_{fi}^n - p_j^n)] \quad (19)$$

式中: $T_{mi, j}$ 为孔隙单元 mi 与 $j(j=fj, mi, mj)$ 单元的等效传递系数, $T_{fi, j}$ 为裂隙单元 fi 与 $j(j=fj, mi, mj)$ 单元的等效传递系数。

2.5 边界处理

需要引入边界条件, 才能进行计算。因为该方法中压力都置于单元中心处, 为了保持算法一致性,

在界面中心处或边界边中点处引入边界条件，如图 7 所示。

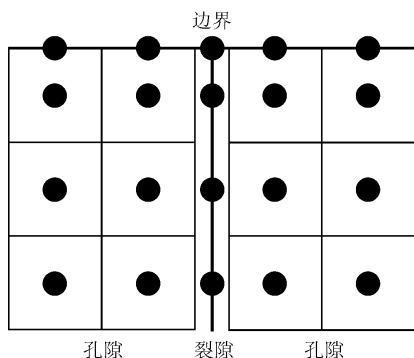


图 7 边界处理

Fig.7 Boundary treatment

边界条件可以是压力边界，也可以是流量边界；既可以在孔隙单元边界处引入，也可以在裂隙单元边界处引入。

在引入边界条件之后，上述公式在边界连接处同样成立。若在孔隙边界单元 i 上引入了压力边界 p_b ，流量边界 Q_b ，那么式(15)可以写为

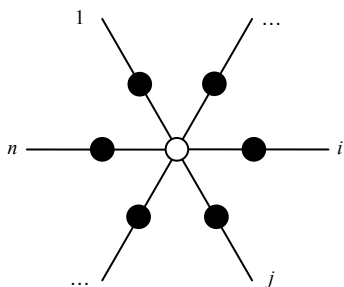
$$Q_i = \sum_{j \neq b} T_{ij}(p_i - p_j) + \alpha_{ib}(p_i - p_b) + Q_b \quad (20)$$

式中： α_{ib} 为 i 单元中心到边界中心(中点)处的传递系数。相似地，可以把式(20)中的边界条件扩展到式(17)~(19)中，不再赘述。

2.6 离散裂隙网络渗流计算

多个裂隙相交的时候，式(15)同样成立。图 8 所示为 n 个裂隙相交的情形。可通过虚拟一个中心节点(空心点)，再通过流量守恒，导出 n 个裂隙两两之间的传递系数：

$$T_{ij} = \frac{\alpha_i \alpha_j}{\sum_{k=1}^n \alpha_k} \quad (21)$$



实心点代表真实压力节点，空心点代表虚拟压力节点

图 8 n 个相交裂隙

Fig.8 Intersecting of multiple fractures

离散裂隙网络中的裂隙，可分解为多组相交裂隙，由此可按式(21)所示的传导系数，代入式(18)或(19)进行计算。

3 OpenMP 并行化

3.1 OpenMP 简介

OpenMP(Open Multi-Processing)是一套支持跨平台共享内存方式的多线程并发的编程 API^[35]，可以在大多数操作系统上运行，如 Windows，Linux，Mac OS 等；OpenMP 支持的编程语言包括 C 语言、C++和 Fortran；支持 OpenMP 的编译器包括 Sun Compiler，GNU Compiler 和 Intel Compiler 等。本文使用 C++作为编程语言，程序在 Windows 系统上运行。

OpenMP 提供了对并行算法的高层的抽象描述，这降低了并行编程的难度和复杂度。只需通过在源代码中加入专用的 Pragma 来指明意图，由此编译器可自动将程序进行并行化，但在必要之处需加入同步互斥以及通信，以避免并行冲突。

3.2 OpenMP 并行化

渗流算法流程如图 9 所示，在求解之前需要进行前处理，包括寻找拓扑关系和求解传递系数。之后进行动态求解迭代，包括流量场的求解和压力场的求解。在这个过程中，可以进行并行处理的求解环节包括：传递系数求解；孔隙渗流、裂隙渗流流量求解；孔隙渗流、裂隙渗流压力求解。

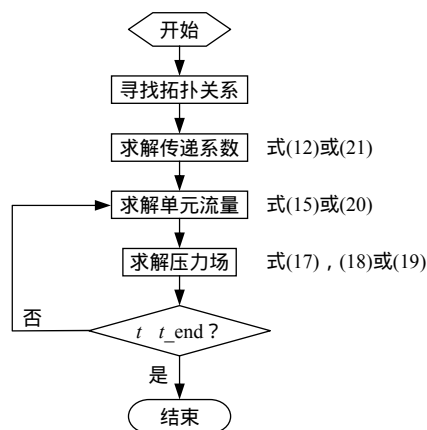


图 9 本算法流程

Fig.9 Flow chart of the algorithm

在整个求解过程中，都是以单元为求解单位，不形成总体的传递系数矩阵，并且使用动态方法求解静态或动态问题，该方法为动态松弛法。这 3 个

求解环节，都是逐个单元求解，符合并行化要求。所对应的需并行化的 5 个求解函数如表 1 所示。

表 1 5 个并行函数

Table 1 Five parallel functions

待并行函数	功能
int CalcTransmissivity();	//传递系数求解
int DoPressureP(iter);	//孔隙渗流压力求解
int DoPressureF(iter);	//裂隙渗流压力求解
int DoQuantityP(TimeStep);	//孔隙渗流流量求解
int DoQuantityF(TimeStep);	//裂隙渗流流量求解

打开 Visual Studio 中的 OpenMP 并行开关，并使用下列语句，对上述函数中的单元循环进行并行化处理。图 10 为孔隙渗流压力计算的并行化处理，类似地可以对其他 4 个函数进行并行化处理。

```

并行函数示例
int DoPressureF(iter)
{
    #ifdef _OPENMP
    #pragma omp parallel for
    #endif
    for (int i=0; i<nElems; i++)
    {
        //单元压力计算
    }
    return 0;
}
    
```

图 10 孔隙渗流压力计算的并行化处理

Fig.10 Parallel processing for pore seepage pressure calculation

需要指出的是，“for”循环中的循环变量应为“int”型，不能为“size_t”，否则无法并行化。

上述并行算法建立在逐个单元计算基础之上，如果采用相同类型的单元，那么每个单元的计算量基本一致。在并行求解的时候，就会减少因不同单元计算量不同所导致的负载不平衡现象，进而提高运行效率。

4 算例

4.1 稳态孔隙渗流算例验证

采用图 11 所示模型，边界条件为 $p_e = 50$ kPa， $p_w = 20$ kPa；模型尺寸为 $R_e = 5.0$ m， $R_w = 2.0$ m， $R_1 = 3.5$ m；渗透率 K_1, K_2 采用 3 种模式：(1) $K_1 =$

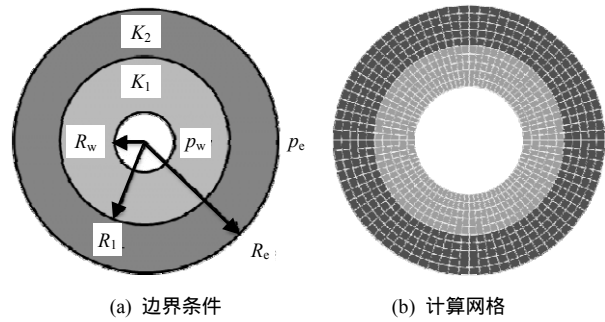


图 11 稳态孔隙渗流计算模型

Fig.11 Model for steady flow in matrix

$K_2 = K$ ，(2) $K_1 = K < K_2 = 2K$ ，(3) $K_1 = 2K > K_2 = K$ ，其中 $K = 1.0 \times 10^{-13} \text{ m}^2$ ；动力黏度 $\mu = 1.0 \times 10^{-3} \text{ Pa} \cdot \text{s}$ 。该算例存在理论解，令

$$\alpha_K = \frac{\frac{\mu}{K_1} \ln\left(\frac{R_1}{R_w}\right)}{\frac{\mu}{K_1} \ln\left(\frac{R_1}{R_w}\right) + \frac{\mu}{K_2} \ln\left(\frac{R_e}{R_1}\right)}, \quad \alpha_R = \frac{\ln\left(\frac{r}{R_w}\right)}{\ln\left(\frac{R_1}{R_w}\right)}$$

$$\beta_K = \frac{\frac{\mu}{K_2} \ln\left(\frac{R_e}{R_1}\right)}{\frac{\mu}{K_1} \ln\left(\frac{R_1}{R_w}\right) + \frac{\mu}{K_2} \ln\left(\frac{R_e}{R_1}\right)}, \quad \beta_R = \frac{\ln\left(\frac{r}{R_1}\right)}{\ln\left(\frac{R_e}{R_1}\right)}$$

则理论解为

$$p(r) = \begin{cases} p_w + \alpha_K \alpha_R (p_e - p_w) & (R_w < r < R_1) \\ p_w + (\alpha_K + \beta_K \beta_R)(p_e - p_w) & (R_1 < r < R_e) \end{cases} \quad (22)$$

该算例的数值解与理论解的对比如图 12 所示，由图可知数值解与理论解符合较好，验证了本文算法求解稳态孔隙渗流的正确性。

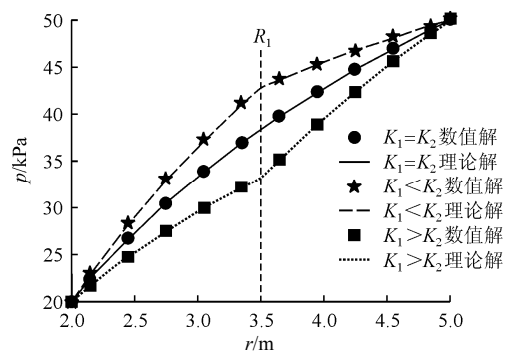


图 12 稳态孔隙渗流数值解与理论解对比

Fig.12 Comparison between numerical and analytical results of steady flow in matrix

4.2 非稳态孔隙渗流算例验证

建立如图 13 所示数值模型，模型长 $L = 10$ m，

宽 1 m。模型左、右侧均为压力边界条件，左侧压力为 10 kPa，右侧压力为 0 kPa，不考虑重力。流体压缩系数为 $c = 5.0 \times 10^{-9} \text{ Pa}^{-1}$ ，孔隙度 $\phi = 0.2$ ，渗透率 $K = 1.0 \times 10^{-13} \text{ m}^2$ ，动力黏度 $\mu = 1.0 \times 10^{-3} \text{ Pa} \cdot \text{s}$ 。该算例的理论解为

$$p(x, t) = p_e \left[1 - \frac{x}{L} - \frac{2}{\pi} \sum_{n=1}^{\infty} e^{-\chi \frac{n^2 \pi^2 t}{L^2}} \left(\frac{1}{n} \sin \frac{n\pi x}{L} \right) \right] \quad (23)$$

其中，

$$\chi = K/(\mu\phi c)$$

本算例中 $\chi = 0.1 \text{ m}^2/\text{s}$ 。

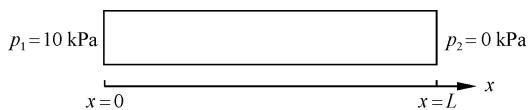


图 13 非稳态孔隙渗流计算模型

Fig.13 Model for unsteady flow in matrix

观测 $x = 2.5, 5.5$ 和 8.5 m 处孔隙压力随着时间的变化，得到数值解与理论解的对比如图 14 所示。由图 14 可知，数值解与理论解保持一致，验证了本文算法求解非稳态孔隙渗流的正确性。

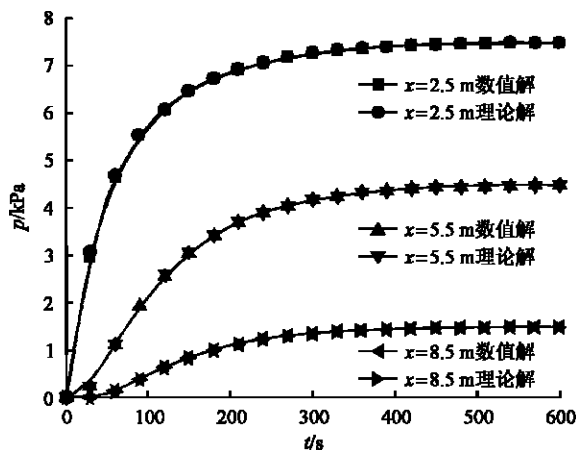


图 14 非稳态孔隙渗流数值解与理论解对比

Fig.14 Comparison between numerical and analytical results of unsteady flow in matrix

4.3 裂隙渗流算例验证

本算例计算 3 组正交裂隙组成的裂隙网络，计算模型如图 15 所示。每个裂隙面都是边长为 100 m 的正方形，且裂隙隙宽都为 0.001 m，没有被填充。每个裂隙面剖分为 10×10 个四边形单元。边界条件为：上边界点 1~5 水头 $H_{1-5} = 200 \text{ m}$ ，下边界点 6~10 水头 $H_{6-10} = 100 \text{ m}$ 。上边界水头 H_{1-5} 下降速度为 1 m/d ，下边界 H_{6-10} 水头不变。流体压缩系数 $c = 7.0 \times 10^{-9} \text{ Pa}^{-1}$ ，动力黏度 $\mu = 1.0 \times 10^{-3} \text{ Pa} \cdot \text{s}$ ，密度 $\rho = 1.0 \times 10^3 \text{ kg/m}^3$ ，重力加速度 $g = 9.8 \text{ m/s}^2$ 。从图 15 中取点 11~19 作为数据观测点，本文解与何杨等^[36]的解对比见表 2。80 d 时水头分布见图 16。

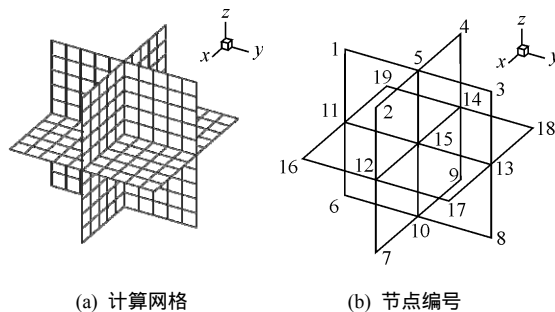


图 15 裂隙网络计算模型

Fig.15 Calculation model of a discrete fracture network

从表 2 的计算结果可以看出，本文数值解与文献解误差平均值为 2%，说明本文算法与何杨等^[36]的有限元算法具有同等精度。

4.4 孔隙-裂隙耦合渗流标准算例验证

采用 A. Tatomir^[37]中标准算例进行验证，计算模型如图 17 所示。模型上边界为压力边界，左、右、下三边为无流量边界。模型尺寸以及孔隙、裂隙渗透系数如图 17 所示。

本文压力计算结果云图如图 18 所示，将压力按照下式转换为水头：

$$h = \frac{p}{\rho g} \quad (24)$$

表 2 本文解和何杨等^[36]的解计算水头对比

Table 2 Comparison between presented and reference heads

10^2 m

节点 编号	初始		20 d		40 d		60 d		80 d	
	数值解	何杨等 ^[36] 的解								
11	1.50	1.49	1.40	1.39	1.30	1.29	1.20	1.20	1.10	1.10
12	1.50	1.44	1.40	1.35	1.30	1.27	1.20	1.18	1.10	1.09
13	1.50	1.49	1.40	1.39	1.30	1.29	1.20	1.20	1.10	1.10
14	1.50	1.44	1.40	1.35	1.30	1.27	1.20	1.18	1.10	1.09
15	1.50	1.47	1.40	1.37	1.30	1.28	1.20	1.19	1.10	1.09
16	1.50	1.47	1.40	1.37	1.30	1.28	1.20	1.19	1.10	1.09
17	1.50	1.47	1.40	1.37	1.30	1.28	1.20	1.19	1.10	1.09

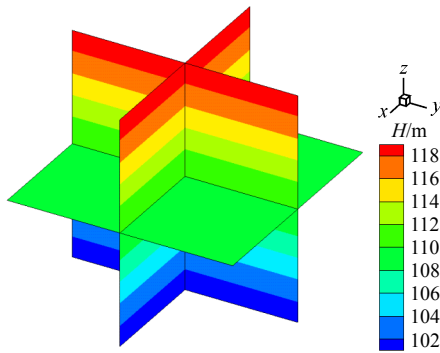


图 16 80 d 时水头分布图
Fig.16 Distribution of water head at 80 d

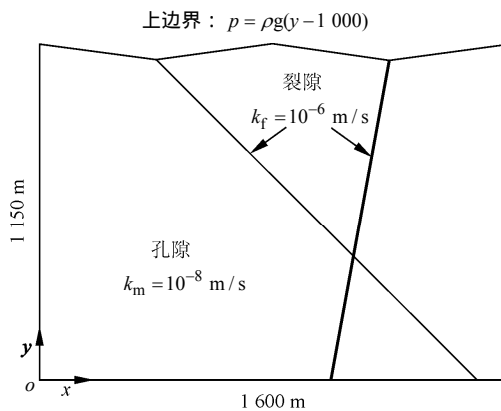


图 17 标准算例模型图
Fig.17 Model for benchmark test

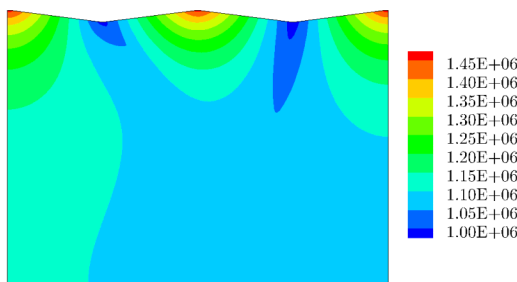


图 18 标准算例压力云图(单位: Pa)
Fig.18 Pressure contour of the benchmark test(unit: Pa)

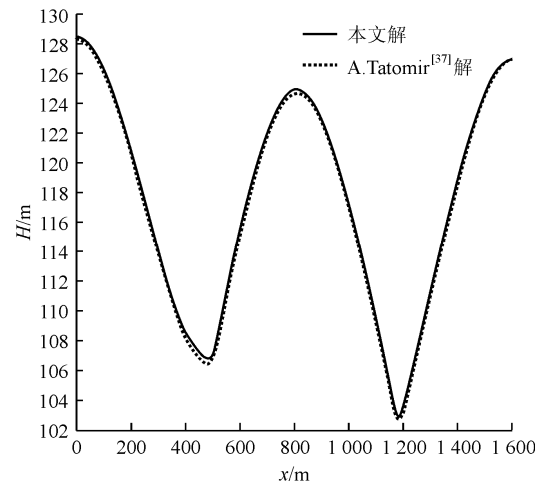
本算例中取水的密度 $\rho = 1.0 \times 10^3 \text{ kg/m}^3$, 重力加速度 $g = 9.8 \text{ m/s}^2$ 。

分别取 $y = 1000, 800$ 和 600 m 处水头, 与 A. Tatomir^[37] 结果对比, 如图 19 所示。

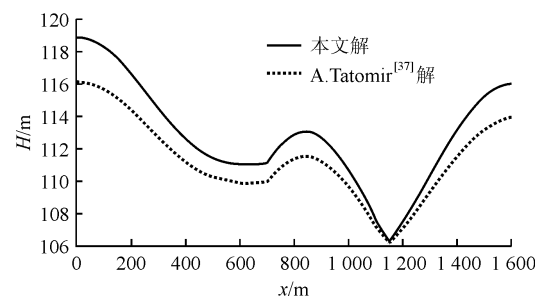
通过与 A. Tatomir^[37] 的有限元计算结果对比可知(见图 19), 本文计算结果与其高度吻合。该标准算例一方面验证了本算法在计算孔隙-裂隙耦合渗流问题上的准确性; 另一方面也说明了中心型有限体积法与有限元法相比, 也具有足够高的精度。

4.5 算法效率研究

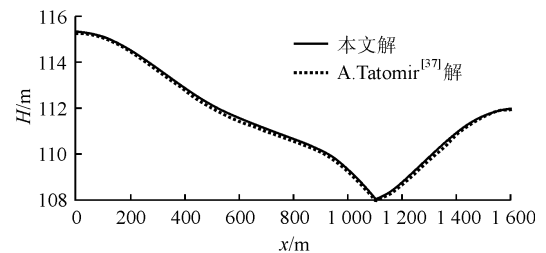
通过计算节 4.4 的标准算例, 分别研究串行程序和 OpenMP 并行程序的运算效率, 计算条件如表 3 所示。



(a) $y = 1000 \text{ m}$ 处水头



(b) $y = 800 \text{ m}$ 处水头



(c) $y = 600 \text{ m}$ 处水头

图 19 本文解与 A. Tatomir^[37] 解对比
Fig.19 Calculated results compared with the ones from A. Tatomir^[37]

表 3 计算条件

Table 3 Calculation conditions

网格信息		迭代信息	
单元类型	单元数目	迭代步数	时间步长
五面体	14 997	1 000 000	0.35 s

(1) 串行程序效率研究

采用表 3 中的计算条件, 分别使用中心型有限体积渗流程序和显式有限元渗流程序进行求解。两者均使用单线程进行计算, 计算平台均为 Intel(R) Core(TM) i7-3770 CPU @ 3.40 GHz 3.40 GHz (CPU 3770)。程序运行时间如表 4 所示。

表 4 计算时间对比

Table 4 Comparison of the running time

数值方法	计算时间/s
中心型有限体积法	808
有限单元法	6 603

从表 4 可以看出，在相同计算条件下，使用同一计算机计算，中心型有限体积法与有限元法运算效率之比为 6 603 / 808 = 8.18，这说明中心型有限体积法效率远远高于有限元法。

(2) OpenMP 并行程序效率研究

采用表 3 中的计算条件，分别使用两台计算机：Intel(R) Core(TM) i7-3770 CPU @ 3.40 GHz 3.40 GHz (CPU 3770)和 Intel(R) Core(TM) i7-4770 CPU @ 3.40 GHz 3.40 GHz (CPU 4770)进行并行计算。CPU 3770 和 CPU 4770 均具有 4 个核心 8 个线程。并行化计算过程如下：

使用下列命令设置线程数：omp_set_num_threads(4)；其中，括号内数字为线程数；对于 CPU 3770 和 CPU 4770，分别取线程数为 1~8 个。

统计计算时间。

计算加速比和并行效率，两者的计算公式分别为^[38]

$$S_p = T_s / T_p \tag{25}$$

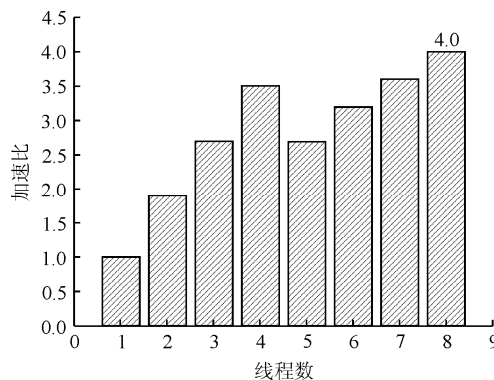
$$e_f = S_p / p \tag{26}$$

式中： T_s ， T_p 分别为串程序程序和并程序程序计算时间； p 为线程数。

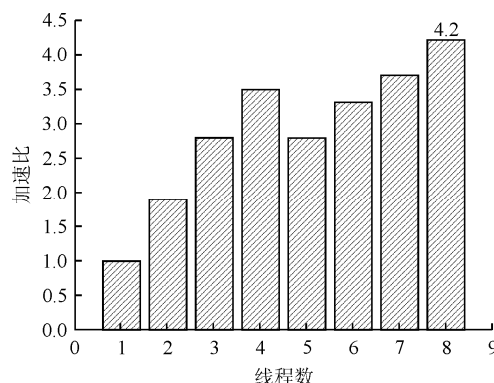
计算结果如图 20 所示。从图 20 可以看出，CPU 3770 的最大加速比为 4.0；CPU 4770 的最大加速比为 4.2。并程序程序加速 4 倍以上，表明 OpenMP 并行效果显著。两者取得最大加速比时的线程数均为 8 个，为线程数的上限值。这说明，当使用并行机进行 OpenMP 并行计算时，一定计算规模的情况下，应设置线程数为其上限，才能取得最速效果。

CPU 3770 的并行效率为 $4.0/8 \times 100\% = 50\%$ ；CPU 4770 的并行效率为 $4.2/8 \times 100\% = 53\%$ 。并程序程序在两台计算机上的并行效率均超过 50%，达到预期效果，表明并行算法的有效性。

从图 20 还可以看出，当线程数为 1~4 时，随着线程数的增加，加速比随之上升；当线程数超过 4 时，加速比反而下降；当线程数为 5~8 时，随着线程数的增加，加速比又随之上升。



(a) CPU 3770



(b) CPU 4770

图 20 加速比与线程数关系

Fig.20 Relationships between the speedup and the number of threads

决定程序计算时间(进而决定加速比)的因素包括多个，如线程数目、线程间切换开销、负载平衡等，是所有因素共同博弈的结果。当线程数分别为 1~4 和 5~8 时，线程数目起到主导作用，表现为：线程数目增加，加速比随之上升。线程数目由 4 变为 5，出现加速比下降的反常现象，主要是由于 Intel 芯片采用超线程技术所导致。线程数由 4 变为 5 时，线程数目超过了 CPU 核心数目，线程间切换开销增大，负载不平衡，所以计算时间上升，导致加速比下降。

5 结 论

本文发展了一种基于任意网格的三维中心型有限体积孔隙-裂隙渗流求解算法，并对其进行了 OpenMP 并行化。主要结论如下：

(1) 算法核心

中心型有限体积法将未知量(即压力)置于单元中心处，以此减少计算量。使用串联弹簧模型在空间域进行离散，使用显式差分格式在时间域离散，

分别给出了稳态/非稳态孔隙渗流、裂隙渗流、孔隙-裂隙耦合渗流的计算公式。此外,还对边界和离散裂隙网络进行特殊处理,分别给出了边界处理公式和传递系数公式。该算法求解时使用动态松弛技术,逐个单元求解,适合并行化。

(2) 算例验证

算例验证表明,该算法在求解孔隙渗流、裂隙渗流、孔隙-裂隙耦合渗流时,与理论解或有限元解保持一致,说明了算法的正确性。与有限元法对比表明,该方法与有限元具有类似的精度,但是计算效率为显式有限元法的8倍。

(3) OpenMP 并行研究

OpenMP 并行研究表明,OpenMP 并行化使得该算法运算速度在 CPU i7-3770 下可提高至4.0倍,在 CPU i7-4770 下可提高至4.2倍;两台机器上的并行效率均高达50%以上。

当使用并行机进行 OpenMP 并行计算时,一定计算规模的情况下,应设置线程数为其上限,才能取得最速效果。

使用4核8线程机器时:当线程数在1~4和5~8范围时,由于线程数目的主导作用,随着线程数目的增加,加速比随之上升;当线程数由4变为5时,加速比下降,主要是由于 Intel 芯片采用超线程技术所导致。

综上所述,本文所发展的三维中心型有限体积孔隙-裂隙渗流算法的优点是:可在任意网格上运行;能保证足够高的计算精度;计算效率高;适合并行化。

参考文献(References):

- [1] KAZEMI H, MERRILL L S, PORTERFIELD K L, et al. Numerical simulation of water-oil flow in naturally fractured reservoirs[J]. SPE Journal, 1976, 16(6): 317-326.
- [2] CIPOLLA C L, LOLON E P, ERDLE J C, et al. Reservoir modeling in shale-gas reservoirs[J]. SPE Reservoir Evaluation and Engineering, 2010, 13(4): 638-653.
- [3] 刘洋,李世海,刘晓宇.基于连续介质离散元的双重介质渗流应力耦合模型[J].岩石力学与工程学报,2011,30(5):951-959.(LIU Yang, LI Shihai, LIU Xiaoyu. Coupled fluid flow and stress computation model of dual media based on continuum-medium distinct element method[J]. Chinese Journal of Rock Mechanics and Engineering, 2011, 30(5): 951-959.(in Chinese))
- [4] SHEN B, STEPHANSSON O, RINNE M, et al. A fracture propagation code and its applications to nuclear waste disposal[J]. International Journal of Rock Mechanics and Mining Sciences, 2004, 41(Supp.1): 472-477.
- [5] BLESSENT D, THERRIEN R, GABLE C W. Large-scale numerical simulation of groundwater flow and solute transport in discretely-fractured crystalline bedrock[J]. Advances in Water Resources, 2011, 34(12): 1539-1552.
- [6] 李世海,周东,王杰,等.水电能源开发中的关键工程地质体力学问题[J].中国科学:物理学·力学·天文学,2013,43(12):1602-1616.(LI Shihai, ZHOU Dong, WANG Jie, et al. Key problem of engineering geomechanics in hydroelectric energy exploitation[J]. Scientia Sinica Physica, Mechanica and Astronomica, 2013, 43(12): 1602-1616.(in Chinese))
- [7] GRANT M A, BIXLEY P F. Geothermal reservoir engineering[M]. 2nd ed. [S. l.]: Elsevier, 2011: 201-217.
- [8] BARENBLATT G I, ZHELTOV I P, KOCHINA I N. Basic concepts in the theory of seepage of homogeneous liquids in fissured rocks[J]. Journal of Applied Mathematics and Mechanics, 1960, 24(5): 852-864.
- [9] SAMARDZIOSKA T, POPOV V. Numerical comparison of the equivalent continuum, non-homogeneous and dual porosity models for flow and transport in fractured porous media[J]. Advances in Water Resources, 2005, 28(3): 235-255.
- [10] LONG J C S, REMER J S, WILSON C R, et al. Porous media equivalents for networks of discontinuous fractures[J]. Water Resources Research, 1982, 18(3): 645-658.
- [11] DVERSTORP B, ANDERSSON J, NORDQVIST W. Discrete fracture network interpretation of field tracer migration in sparsely fractured rock[J]. Water Resources Research, 1992, 28(9): 2327-2343.
- [12] 于青春,刘丰收,大西有三.岩体非连续裂隙网络三维面状渗流模型[J].岩石力学与工程学报,2005,24(4):662-668.(YU Qingchun, LIU Fengshou, OHNISHI Yuzo. Three-dimensional planar model for fluid flow in discrete fracture network of rock masses[J]. Chinese Journal of Rock Mechanics and Engineering, 2005, 24(4): 662-668.(in Chinese))
- [13] 李新强,杨松青,汪小刚.岩体随机结构面三维网络的生成和可视化技术[J].岩石力学与工程学报,2007,26(12):2564-2569.(LI Xinqiang, YANG Songqing, WANG Xiaogang. Generation and visualization technologies of three-dimensional network of rock mass stochastic structural plane[J]. Chinese Journal of Rock Mechanics and Engineering, 2007, 26(12): 2564-2569.(in Chinese))
- [14] 张丽,刘晓宇,李世海.裂隙岩体稳定/非稳定渗流数值模拟[J].岩石力学与工程学报,2009,28(增2):3409-3416.(ZHANG Li, LIU Xiaoyu, LI Shihai. Numerical simulation of steady/unsteady flow in fractured rock masses[J]. Chinese Journal of Rock Mechanics and Engineering, 2009, 28(Supp.2): 3409-3416.(in Chinese))
- [15] 张奇华,邹爱清.三维任意裂隙网络渗流模型及其解法[J].岩石力学与工程学报,2010,29(4):720-730.(ZHANG Qihua, WU Aiqing. Three-dimensional arbitrary fracture network seepage model and its solution[J]. Chinese Journal of Rock Mechanics and Engineering, 2010, 29(4): 720-730.(in Chinese))
- [16] KIM J G, DEO M D. Finite element, discrete-fracture model for

- multiphase flow in porous media[J]. *AIChE Journal*, 2000, 46(6): 1120–1130.
- [17] 张社荣, 杨璐玲, 钟登华. 裂隙岩体渗流场分析及其三维有限元程序设计[J]. *岩土力学*, 2005, 26(1): 46–49.(ZHANG Sherong, YANG Luling, ZHONG Denghua. Analysis of the seepage field in fractured rocks and the design of 3-D finite element analyzing program[J]. *Rock and Soil Mechanics*, 2005, 26(1): 46–49.(in Chinese))
- [18] 刘洋, 李世海, 刘继棠. 裂隙岩体非稳态渗流数值模型及其应用[J]. *力学与实践*, 2011, 33(6): 23–29.(LIU Yang, LI Shihai, LIU Jitang. Numerical model of unsteady fluid flow in fractured rock and its application[J]. *Mechanics and Engineering*, 2011, 33(6): 23–29.(in Chinese))
- [19] 吕心瑞, 姚军, 黄朝琴, 等. 基于有限体积法的离散裂缝模型两相流动模拟[J]. *西南石油大学学报: 自然科学版*, 2012, 34(6): 123–130.(LU Xinrui, YAO Jun, HUANG Zhaoqin, et al. Study on discrete fracture model two-phase flow simulation based on finite volume method[J]. *Journal of Southwest Petroleum University: Science and Technology*, 2012, 34(6): 123–130.(in Chinese))
- [20] 宋晓晨, 徐卫亚. 裂隙岩体渗流模拟的三维离散裂隙网络数值模型(II): 裂隙网络的随机生成[J]. *岩石力学与工程学报*, 2004, 23(12): 2021–2026.(SONG Xiaochen, XU Weiya. Numerical model of three-dimensional discrete fracture network for seepage in fractured rocks(II): computation of steady flow[J]. *Chinese Journal of Rock Mechanics and Engineering*, 2004, 23(12): 2021–2026.(in Chinese))
- [21] NICK H M, MATTHÄI S K. Comparison of three FE-FV numerical schemes for single- and two-phase flow simulation of fractured porous media[J]. *Transport in Porous Media*, 2011, 90(2): 421–444.
- [22] CAILLABET Y, FABRIE P, LANDEREAU P, et al. Implementation of a finite-volume method for the determination of effective parameters in fissured porous media[J]. *Numerical Methods for Partial Differential Equations*, 2000, 16(2): 237–263.
- [23] CAILLABET Y, FABRIE P, LASSEUX D, et al. Computation of large-scale parameters for dispersion in fissured porous medium using finite-volume method[J]. *Computational Geosciences*, 2001, 5(2): 121–150.
- [24] GRANET S, FABRIE P, LEMONNIER P, et al. A two-phase flow simulation of a fractured reservoir using a new fissure element method[J]. *Journal of Petroleum Science and Engineering*, 2001, 32(1): 35–52.
- [25] KARIMI-FARD M, DURLOFSKY L J, AZIZ K. An efficient discrete-fracture model applicable for general-purpose reservoir simulators[J]. *SPE Journal*, 2004, 9(2): 227–236.
- [26] 刘耀儒, 杨强, 黄岩松, 等. 基于双重孔隙介质模型的渗流-应力耦合并行数值分析[J]. *岩石力学与工程学报*, 2007, 26(4): 705–711.(LIU Yaoru, YANG Qiang, HUANG Yansong, et al. Parallel numerical analysis of coupled fluid flow and stress based on dual porosity media model[J]. *Chinese Journal of Rock Mechanics and Engineering*, 2007, 26(4): 705–711.(in Chinese))
- [27] 刘耀儒, 杨强, 覃振朝. 基于统计模型的裂隙岩体渗流场的并行数值模拟[J]. *岩石力学与工程学报*, 2008, 27(4): 736–742.(LIU Yaoru, YANG Qiang, QIN Zhenchao. Parallel numerical simulation of fractured rock mass based on statistic model[J]. *Chinese Journal of Rock Mechanics and Engineering*, 2008, 27(4): 736–742.(in Chinese))
- [28] ZHANG L, ZHANG G X, WANG L X, et al. A comparative study on different parallel solvers for nonlinear analysis of complex structures[J]. *Mathematical Problems in Engineering*, 2013: 764237.
- [29] MA Z S, FENG C, LIU T P, et al. A GPU accelerated continuous-based discrete element method for elastodynamics analysis[J]. *Advanced Materials Research*, 2011, 320: 329–334.
- [30] LIU J T, MA Z S, LI S H, et al. A GPU accelerated red-black SOR algorithm for computational fluid dynamics problems[J]. *Advanced Materials Research*, 2011, 320: 335–340.
- [31] WANG L X, LI S H, ZHANG G X, et al. A GPU-based parallel procedure for nonlinear analysis of complex structures using a coupled FEM/DEM approach[J]. *Mathematical Problems in Engineering*, 2013, 618980: 1–15.
- [32] TAKAHASHI T, HAMADA T. GPU-accelerated boundary element method for Helmholtz' equation in three dimensions[J]. *International Journal for Numerical Methods in Engineering*, 2009, 80(10): 1295–1321.
- [33] SNOW D T. A parallel plate model of fractured permeable media[Ph. D. Thesis][D]. Berkeley: University of California, 1965.
- [34] 仵彦卿, 张倬元. 岩体水力学导论[M]. 成都: 西南交通大学出版社, 1995: 45–48.(WU Yanqing, ZHANG Zhuoyuan. An introduction to rock mass hydraulics[M]. Chengdu: Southwest Jiaotong University Press, 1995: 45–48.(in Chinese))
- [35] WIKIPEDIA. OpenMP[EB/OL]. <http://zh.wikipedia.org/wiki/OpenMP>. 2014.
- [36] 何杨, 柴军瑞, 唐志立, 等. 三维裂隙网络非稳定渗流数值分析[J]. *水动力学研究与进展: A 辑*, 2007, 22(3): 338–344.(HE Yang, CHAI Junrui, TANG Zhili, et al. Numerical analysis of 3D unsteady seepage through fracture network in rock mass[J]. *Journal of Hydrodynamics: Series A*, 2007, 22(3): 338–344.(in Chinese)).
- [37] TATOMIR A. Numerical investigations of flow through fractured porous media[M. S. Thesis][D]. Stuttgart: University of Stuttgart, 2007.
- [38] LEI Z, ROUGIER E, KNIGHT E E, et al. A framework for grand scale parallelization of the combined finite discrete element method in 2D[J]. *Computational Particle Mechanics*, 2014, 1(3): 307–319.